

第三章 有理 B ézier 曲线

B ézier 曲线不能精确表示除抛物线外的圆锥曲线，而有理 B ézier 曲线既能表示多项式曲线（如飞机身上的纵向曲线），又能表示圆锥曲线（如飞机身上的横截面线），可以把两者统一编程处理，所以它一出现就成为 CAGD 的一个研究热点。最早提出并研究应用有理参数曲线的是 Rowin^[1], Coons^[2], 继之有 Ball^[3], Forrest^[4], Farin^[5], Pigel^[6], 刘鼎元^[7]和本书作者等。本章着重论述有理 B ézier 曲线的基本性质及算法，内容取材于[WGJ, WGZ, 99], [WGZ, 85], [XW, 92];更深入的研究成果将在以后各章中论述。

3.1 圆锥曲线的经典数学表示及其有理二次参数化

圆锥曲线（Conic Section），也叫二次曲线，在 \mathcal{R}^2 的仿射坐标系下可表为二次隐式方程

$$S = S(x, y) = Ax^2 + 2Bxy + Cy^2 + 2Dx + 2Ey + F = 0. \quad (3.1.1)$$

1944 年，Liming^[8]改进上式使其几何意义鲜明。他以 λ 为族参数的二次隐式方程

$$(1-\lambda)S_1(x, y) + \lambda S_2(x, y) = (1-\lambda)S_1 + \lambda S_2 = 0 \quad (3.1.2)$$

表示通过二次曲线 $S_1(x, y) = 0$, $S_2(x, y) = 0$ 之交点的二次曲线束， λ 之值由交点坐标决定； $\lambda = 0, 1$ 时分别为 $S_1 = 0, S_2 = 0$ 。再令 $l = l(x, y) = 0$ 为直线方程，则 $(1-\lambda)l_1l_2 + \lambda l_3l_4 = 0$ 表示通过直线偶 (l_1, l_2) 与 (l_3, l_4) 两两相交的四个交点的二次曲线束。这是因为直线偶可看作退化的圆锥曲线。特别地，让直线 l_3 合于直线 l_4 ，则

$$(1-\lambda)l_1l_2 + \lambda l_3^2 = 0 \quad (3.1.3)$$

表示过点 R_0, R_2 且与 $l_1 = 0, l_2 = 0$ 分别切于点 R_0, R_2 的二次曲线束，见图 3.1.1。设 $l_1 = 0$ 与 $l_2 = 0$ 交于点 R_1 ，在仿射坐标系 $\{R_1; R_1R_0, R_1R_2\}$ 中，(3.1.3) 可化为

$$S(x, y) = (1-\lambda)xy \pm \lambda(x+y-1)^2 = 0. \quad (3.1.4)$$

只要给定曲线上一点 R ，就可确定 λ ，且 (3.1.4) 中取负号时，点 $R \in \Delta R_0R_1R_2$ 所对应的 $\lambda \in (0, 1)$ 。下面应用 Liming 的结果化二次曲线为参数形式。为此，注意到对曲线上任意的点 R ，有 $R = R(x, y) = R_1 + x(R_0 - R_1) + y(R_2 - R_1)$ 。过点 R 作曲线的切线交 $l_1 = 0, l_2 = 0$ 于点 A, B ，则 $(g_1, g_2) = (\|R_1A\|/\|R_0A\|, \|R_1B\|/\|R_2B\|)$ 可作为点 R 的参数，又曲线在点 R 的切线方程为 $(Y-y)/(X-x) = -S'_x/S'_y$ ，由此就可以得出 $A = (-2\lambda(x+y-1)/[(1-\lambda)y-2\lambda(x+y-1)], 0)$ ，所以 $g_1 = X_A/(1-X_A) = -2\lambda(x+y-1)/[(1-\lambda)y]$ ，同

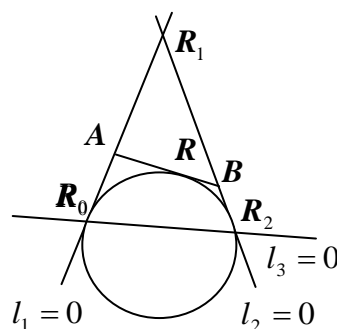


图 3.1.1 由三条直线决定的二次曲线束

理可以算出 $g_2 = -2\lambda(x+y-1)/[(1-\lambda)x]$ ，于是 $g_1g_2 = 4\lambda/(1-\lambda)$ 。这表明对曲线族 (3.1.4) 中任意一条曲线， $g_1g_2 = \text{const} > 0$ 之值与动点 R 无关。由 g_1, g_2 之表达式反解得 $x = g_1/(g_1+2+g_2)$ ， $y = g_2/(g_1+2+g_2)$ ，代入 $R(x, y)$ 可得 $R = (g_1R_0 + 2R_1 + g_2R_2)/(g_1+2+g_2)$ 。因 g_1g_2 为常数，可令 $g_1 = \omega_0(1-t)/(\omega_1t)$ ， $g_2 = \omega_2t/[\omega_1(1-t)]$ ， $\omega_0, \omega_1, \omega_2$ 为常数，最后我们有

$$R = R(t) = \frac{(1-t)^2\omega_0R_0 + 2(1-t)t\omega_1R_1 + t^2\omega_2R_2}{(1-t)^2\omega_0 + 2(1-t)t\omega_1 + t^2\omega_2}, \quad 0 \leq t \leq 1, \quad (3.1.5)$$

上式就是由 R_0, R_1, R_2 三点决定的圆锥曲线段的有理二次参数表示，它带有一个常量

$g_1 g_2 = \omega_0 \omega_2 / \omega_1^2 > 0$. 我们可以改变 ω_i 的值来改变 (3.1.5) 的形式, 但 $\omega_0 \omega_2 / \omega_1^2$ 的值不能改变. 下一节引入一般的有理参数表示.

3.2 有理 Bézier 曲线的定义及其基本几何性质

定义 3.2.1 给定 \mathbb{R}^3 空间中, 齐次坐标 (Homogeneous coordinates) 下的 $n+1$ 个点 $\tilde{\mathbf{R}}_i = (X_i, Y_i, Z_i, \omega_i) = (\omega_i x_i, \omega_i y_i, \omega_i z_i, \omega_i)$, $i = 0, 1, \dots, n$, 则 n 次有理参数曲线

$$\tilde{\mathbf{R}}(t) = (X(t), Y(t), Z(t), \omega(t)) = \sum_{i=0}^n B_i^n(t) \tilde{\mathbf{R}}_i, \quad 0 \leq t \leq 1 \quad (3.2.1)$$

称为 n 次有理 (Rational) Bézier 曲线, 其中 $B_i^n(t)$ 为 n 次 Bernstein 基, $\tilde{\mathbf{R}}_i$ 称为控制顶点, $\tilde{\mathbf{R}}_0 \tilde{\mathbf{R}}_1 \dots \tilde{\mathbf{R}}_n$ 称为控制多边形或 B 网, ω_i 称为权因子或权 (Weight).

为保证曲线的凸包性质并避免 $\omega(t) = 0$, 常规定 $\omega_i > 0$. 试验表明, ω_i 增大时曲线会向顶点 \mathbf{R}_i 靠近, 这可用于曲线形状调整. 易见 (3.2.1) 在仿射坐标系下的对应表示式是

$$\mathbf{R}(t) = (x(t), y(t), z(t)) = \left(\frac{X(t)}{\omega(t)}, \frac{Y(t)}{\omega(t)}, \frac{Z(t)}{\omega(t)} \right) = \frac{\sum_{i=0}^n B_i^n(t) \omega_i \mathbf{R}_i}{\sum_{i=0}^n B_i^n(t) \omega_i}, \quad \mathbf{R}_i = (x_i, y_i, z_i), \quad 0 \leq t \leq 1. \quad (3.2.2)$$

有理 Bézier 曲线具有类似于 Bézier 曲线的几何性质.

性质 3.2.1 几何不变性和仿射不变性.

性质 3.2.2 关于参数 t 和 $(1-t)$ 的对称性.

性质 3.2.3 端点插值性: 通过 B 网端点, 切于 B 网端边.

当 $\mathbf{R}_0 = \mathbf{R}_1 = \dots = \mathbf{R}_{k-1} \neq \mathbf{R}_k$, $\mathbf{R}_n = \mathbf{R}_{n-1} = \dots = \mathbf{R}_{n-h+1} \neq \mathbf{R}_{n-h}$, $k, h \geq 1$ 时,

$$\mathbf{R}(0) = \mathbf{R}_0, \quad \mathbf{R}(1) = \mathbf{R}_n, \quad \mathbf{R}^{(l)}(0) = \mathbf{R}^{(m)}(1) = \mathbf{0}, \quad l = 1, 2, \dots, k-1; \quad m = 1, 2, \dots, h-1; \quad (3.2.3)$$

$$\mathbf{R}^{(k)}(0) = \frac{n!}{(n-k)! \omega_0} (\mathbf{R}_k - \mathbf{R}_0), \quad \mathbf{R}^{(h)}(1) = \frac{n!}{(n-h)! \omega_n} (\mathbf{R}_n - \mathbf{R}_{n-h}). \quad (3.2.4)$$

这是因为

$$\mathbf{R}(t) = \mathbf{R}_0 + \left\{ t^k \left[\binom{n}{k} (1-t)^{n-k} \omega_k (\mathbf{R}_k - \mathbf{R}_0) \right] + t^{k+1} \sum_{i=k+1}^n \binom{n}{i} (1-t)^{n-i} t^{i-k-1} \omega_i (\mathbf{R}_i - \mathbf{R}_0) \right\} / \omega(t).$$

性质 3.2.4 端点曲率 κ 和挠率 τ : 设控制顶点无重点, $\mathbf{a}_i = \mathbf{R}_i - \mathbf{R}_{i-1}$, $i = 1, 2, \dots, n$; 则

$$\kappa(0) = \frac{n-1}{n} \frac{\omega_0 \omega_2}{\omega_1^2} \frac{\|\mathbf{a}_1 \times \mathbf{a}_2\|}{\|\mathbf{a}_1\|^3}, \quad \kappa(1) = \frac{n-1}{n} \frac{\omega_{n-2} \omega_n}{\omega_{n-1}^2} \frac{\|\mathbf{a}_{n-1} \times \mathbf{a}_n\|}{\|\mathbf{a}_n\|^3}; \quad (3.2.5)$$

$$\tau(0) = \frac{n-2}{n} \frac{\omega_0 \omega_3}{\omega_1 \omega_2} \frac{(\mathbf{a}_1, \mathbf{a}_2, \mathbf{a}_3)}{\|\mathbf{a}_1 \times \mathbf{a}_2\|^2}, \quad \tau(1) = \frac{n-2}{n} \frac{\omega_{n-3} \omega_n}{\omega_{n-2} \omega_{n-1}} \frac{(\mathbf{a}_{n-2}, \mathbf{a}_{n-1}, \mathbf{a}_n)}{\|\mathbf{a}_{n-1} \times \mathbf{a}_n\|^2}. \quad (3.2.6)$$

证 置曲线为 $\mathbf{R}(t) = \mathbf{P}(t)/\omega(t)$, 记为 $\mathbf{R} = \mathbf{P}/\omega$, 则 $\mathbf{P} = \omega \mathbf{R}$. 对上式三次求导分别解得

$$\mathbf{R}' = (\mathbf{P}' - \omega' \mathbf{R}) / \omega, \quad \mathbf{R}'' = (\mathbf{P}'' - \omega'' \mathbf{R} - 2\omega' \mathbf{R}') / \omega,$$

$\mathbf{R}''' = (\mathbf{P}''' - \omega''' \mathbf{R} - 3\omega'' \mathbf{R}' - 3\omega' \mathbf{R}'') / \omega$, 这样就得出端点导矢值 $\mathbf{R}'(0) = n\omega_1 \mathbf{a}_1 / \omega_0$, $\mathbf{R}''(0) = n(n-1)\omega_2 \mathbf{a}_2 / \omega_0 + f_1 \mathbf{a}_1$, $\mathbf{R}'''(0) = n(n-1)(n-2)\omega_3 \mathbf{a}_3 / \omega_0 + g_2 \mathbf{a}_2 + g_1 \mathbf{a}_1$. 这里 f_1, g_2, g_1 由权因子和 n 确定. 把以上三式代入参数曲线的曲率和挠率公式即得 $\kappa(0), \tau(0)$. 同理有 $\kappa(1), \tau(1)$ (按通常做法, 曲率也写作 k , 本书中以后记曲率为 k).

性质 3.2.5 凸包性. 这是因为 $B_i^n(t) \omega_i / \omega(t) \geq 0$, $\sum_{i=0}^n [B_i^n(t) \omega_i / \omega(t)] = 1$.

性质 3.2.6 升阶公式:

$$\mathbf{R}(t) = \sum_{i=0}^n B_i^n(t) \omega_i \mathbf{R}_i \Big/ \sum_{i=0}^n B_i^n(t) \omega_i = \sum_{i=0}^{n+1} B_i^{n+1}(t) \hat{\omega}_i \hat{\mathbf{R}}_i \Big/ \sum_{i=0}^{n+1} B_i^{n+1}(t) \hat{\omega}_i, \quad (3.2.7)$$

$$\hat{\omega}_i = \left(1 - \frac{i}{n+1}\right) \omega_i + \frac{i}{n+1} \omega_{i-1}, \quad i = 0, 1, \dots, n+1; \quad \omega_{-1} = \omega_{n+1} = 0, \quad (3.2.8)$$

$$\hat{\mathbf{R}}_i = \frac{\left(1 - \frac{i}{n+1}\right) \omega_i}{\left(1 - \frac{i}{n+1}\right) \omega_i + \frac{i}{n+1} \omega_{i-1}} \mathbf{R}_i + \frac{\frac{i}{n+1} \omega_{i-1}}{\left(1 - \frac{i}{n+1}\right) \omega_i + \frac{i}{n+1} \omega_{i-1}} \mathbf{R}_{i-1},$$

$$i = 0, 1, \dots, n+1; \quad \mathbf{R}_{-1} = \mathbf{R}_{n+1} = \mathbf{0}. \quad (3.2.9)$$

这可用算子 (1.3.9) 分别作用于 (3.2.2) 的分子分母而得. 上式的几何意义也为对 \mathbf{B} 网的割角, 只是比多项式 \mathbf{B} ézier 曲线的升阶复杂, 割角系数不仅依赖于割角边序号, 且依赖于权 ω_i . 同样, 升阶可无限次进行下去, \mathbf{B} 网的升阶序列收敛到 $\mathbf{R}(t)$.

性质 3.2.7 平面有理 \mathbf{B} ézier 曲线的变差缩减性: 曲线与此平面内的任一直线 \mathbf{L} 的交点个数 $I(\mathbf{R}, \mathbf{L})$ 不多于其相应 \mathbf{B} 网与 \mathbf{L} 的交点个数 $I(\mathbf{B}, \mathbf{L})$, 这里交点个数指跨越 \mathbf{L} 的次数.

证 以 \mathbf{L} 为 x 轴建立直角坐标系, 由性质 3.2.1, 仅需在此坐标系下证明本性质. 今以

$Z[f(t)]$ 表示 $f(t)$ 在 (a, b) 上根的个数, $V[a_i]$ 表示数列 a_i 中去除零元素后正负号排列的变化次数, 引入变换 $s = t/(1-t)$, 并应用关于多项式正根个数的 Cartesian 定理^[9], 有

$$I(\mathbf{R}, \mathbf{L}) \leq Z_{0 < t < 1} \left[\sum_{i=0}^n B_i^n(t) \omega_i y_i \right] = Z_{0 < t < 1} \left[(1-t)^n \sum_{i=0}^n \binom{n}{i} \left(\frac{t}{1-t} \right)^i \omega_i y_i \right] = Z_{0 < s < +\infty} \left[\sum_{i=0}^n \binom{n}{i} \omega_i y_i s^i \right]$$

$$\leq V \left[\binom{n}{0} \omega_0 y_0, \binom{n}{1} \omega_1 y_1, \dots, \binom{n}{n} \omega_n y_n \right] = V[y_0, y_1, \dots, y_n] = I(\mathbf{B}, \mathbf{L}). \text{ 证毕.}$$

性质 3.2.8 平面有理 \mathbf{B} ézier 曲线的保凸性: 应用 (3.3.1) 仿定理 1.4.2 的证明可证.

性质 3.2.9 平面有理 \mathbf{B} ézier 曲线的顶点共面性(由性质 3.2.5 知逆命题也成立).

证 不妨设此曲线 (3.2.2) 在 xy 平面上, 于是 $Z(t)/\omega(t) = \sum_{i=0}^n B_i^n(t) \omega_i z_i / \omega(t) \equiv 0$, 即

$$\sum_{i=0}^n B_i^n(t) \omega_i z_i \equiv 0, \quad 0 \leq t \leq 1. \text{ 由基的线性无关性有 } \omega_i z_i = 0 \text{ 或 } z_i = 0, \quad i = 0, 1, \dots, n, \text{ 即 } \mathbf{R}_i$$

在 xy 平面上, 证毕.

性质 3.2.10 特定分式线性参数变换下的形状不变性: 令

$$t = au/[au + b(1-u)], \quad 0 \leq u \leq 1, \quad (3.2.10)$$

$$a = \sqrt[n]{\omega_n^*/\omega_n}, \quad b = \sqrt[n]{\omega_0^*/\omega_0}. \quad (3.2.11)$$

则只要

$$I_i = I_i^*, \quad I_i = \omega_i^2 / (\omega_{i-1} \omega_{i+1}), \quad I_i^* = \omega_i^{*2} / (\omega_{i-1}^* \omega_{i+1}^*), \quad i = 1, 2, \dots, n-1, \quad (3.2.12)$$

就能把曲线 (3.2.2) 变换到参数为 u , 权因子为 ω_i^* , 但控制顶点和形状均不变的同次有理 \mathbf{B} ézier 曲线

$$\mathbf{R}^*(u) = \sum_{i=0}^n B_i^n(u) \omega_i^* \mathbf{R}_i \Big/ \sum_{i=0}^n B_i^n(u) \omega_i^*, \quad 0 \leq u \leq 1. \quad (3.2.13)$$

证 把 (3.2.10) 代入 (3.2.2) 得

$$\mathbf{R}^*(u) = \sum_{i=0}^n B_i^n(u) a^i b^{n-i} \omega_i \mathbf{R}_i \Big/ \sum_{i=0}^n B_i^n(u) a^i b^{n-i} \omega_i, \quad 0 \leq u \leq 1, \quad (3.2.14)$$

不难看出, 条件 (3.2.12) 等价于 $\{\omega_0^*/\omega_0, \omega_1^*/\omega_1, \dots, \omega_n^*/\omega_n\}$ 构成等比数列, 即

$\omega_i^*/\omega_i = (\omega_0^*/\omega_0)q^i$, $i=1,2,\dots,n$, q 为公比. 当 $i=n$ 时由 (3.2.11) 求得 $q=a/b$. 于是 $a^i b^{n-i} \omega_i = \omega_i^*$, 这表明 (3.2.14) 即 (3.2.13). 证毕.

定义 3.2.2 (3.2.12) 所示的量 $I_i (i=1,2,\dots,n-1)$ 称为 n 次有理 Bézier 曲线 (3.2.2) 在保形分式线性变换 (3.2.10) 下的不变量, 是 (3.2.2) 的内在几何量.

当 $n=2$ 时, I_1 的几何意义已在 § 3.1 中论述. 在 $I_i = I_i^* (i=1,2,\dots,n-1)$ 的条件下曲线 (3.2.2) 和 (3.2.13) 形状相同, 只是沿曲线的参数分布有所不同. 那么, 上述结论之逆是否成立? 对于 $2 \leq n \leq 5$, 我们有

定理 3.2.1 若 n 次 ($n=2,3,4,5$) 有理 Bézier 曲线 (3.2.2) 与 (3.2.13) 的控制多边形首末三个顶点均不共线, 首末三条边矢均不共面 ($n \geq 3$), 则它们形状相同当且仅当 (3.2.12) 成立. 证 充分性即性质 3.2.10; 今仅就 $n=5$ 证明必要性. 因曲线 (3.2.2) 与 (3.2.13) 形状相同, 所以曲率或挠率恒等, 特别在曲线始端的曲率或挠率相等. 由性质 3.2.4 有

$$\frac{4}{5} \left(\frac{\omega_0 \omega_2}{\omega_1^2} - \frac{\omega_0^* \omega_2^*}{\omega_1^{*2}} \right) \frac{\| \mathbf{a}_1 \times \mathbf{a}_2 \|}{\| \mathbf{a}_1 \|^3} = \frac{3}{5} \left(\frac{\omega_0 \omega_3}{\omega_1 \omega_2} - \frac{\omega_0^* \omega_3^*}{\omega_1^* \omega_2^*} \right) \frac{(\mathbf{a}_1, \mathbf{a}_2, \mathbf{a}_3)}{\| \mathbf{a}_1 \times \mathbf{a}_3 \|^2} = 0.$$

因 $\mathbf{R}_0, \mathbf{R}_1, \mathbf{R}_2$ 不共线, $\mathbf{a}_1, \mathbf{a}_2, \mathbf{a}_3$ 不共面, 所以 $\mathbf{a}_1 \times \mathbf{a}_2 \neq \mathbf{0}$, $(\mathbf{a}_1, \mathbf{a}_2, \mathbf{a}_3) \neq 0$, 于是 $I_1 = I_1^*$, $(\omega_0 \omega_3)/(\omega_1 \omega_2) = (\omega_0^* \omega_3^*)/(\omega_1^* \omega_2^*)$, 两式相乘得 $I_2 = I_2^*$. 又由曲线的对称性可得 $I_4 = I_4^*$, $I_3 = I_3^*$, 证毕.

性质 3.2.11 可退化性: 当权因子 $\omega_i = \omega, i=0,1,\dots,n$ 时, 曲线 (3.2.2) 退化为 Bézier 曲线 (1.3.2).

性质 3.2.12 被还原性, 即若把 Bézier 曲线 (1.3.2) 看作曲线 (3.2.2) 的退化情形, 则它也能还原为 (3.2.2): 引入参数变换 $t = au/(1-u+au) (0 \leq u \leq 1)$, (1.3.2) 可变成以 \mathbf{P}_i 为控制顶点, 以

$$\omega_i = \alpha^i \text{ 为权的有理 Bézier 曲线 } \sum_{i=0}^n B_i^n(u) \alpha^i \mathbf{P}_i / \sum_{i=0}^n B_i^n(u) \alpha^i.$$

3.3 有理 Bézier 曲线的离散构造及包络性

对曲线 (3.2.2) 的分子分母分别应用定理 1.4.1, 就得到有理 Bézier 曲线离散生成的

定理 3.3.1 对任一点 $c \in (a, b)$, $\lambda = (c-a)/(b-a)$, 必有

$$\mathbf{R}(t) = \frac{\sum_{i=0}^n B_i^n \left(\frac{t-a}{b-a} \right) \omega_i \mathbf{R}_i}{\sum_{i=0}^n B_i^n \left(\frac{t-a}{b-a} \right) \omega_i} = \begin{cases} \frac{\sum_{i=0}^n B_i^n \left(\frac{t-a}{c-a} \right) \omega_i^i(c) \mathbf{R}_i^i(c)}{\sum_{i=0}^n B_i^n \left(\frac{t-a}{c-a} \right) \omega_i^i(c)}, & a \leq t \leq c, \\ \frac{\sum_{i=0}^n B_i^n \left(\frac{t-c}{b-c} \right) \omega_n^{n-i}(c) \mathbf{R}_n^{n-i}(c)}{\sum_{i=0}^n B_i^n \left(\frac{t-c}{b-c} \right) \omega_n^{n-i}(c)}, & c \leq t \leq b. \end{cases} \quad (3.3.1)$$

$$\omega_i^r(c) = \begin{cases} \omega_i, & r=0; i=0,1,\dots,n, \\ (1-\lambda)\omega_{i-1}^{r-1}(c) + \lambda\omega_i^{r-1}(c), & r=1,2,\dots,n; i=r, r+1, \dots, n, \end{cases} \quad (3.3.2)$$

$$\mathbf{R}_i^r(c) = \begin{cases} \mathbf{R}_i, & r=0; i=0,1,\dots,n, \\ \frac{(1-\lambda)\omega_{i-1}^{r-1}(c)}{(1-\lambda)\omega_{i-1}^{r-1}(c) + \lambda\omega_i^{r-1}(c)} \mathbf{R}_{i-1}^{r-1}(c) + \frac{\lambda\omega_i^{r-1}(c)}{(1-\lambda)\omega_{i-1}^{r-1}(c) + \lambda\omega_i^{r-1}(c)} \mathbf{R}_i^{r-1}(c), & r=1,2,\dots,n; i=r, r+1, \dots, n. \end{cases} \quad (3.3.3)$$

这一定理是定理 1.4.1 的推广, 我们也可由此推得有理 Bézier 曲线的递归求值公式和作图定理; 又由 (3.3.3) 知 $\mathbf{R}_i^r(c)$ 是 $\mathbf{R}_{i-1}^{r-1}(c)$ 和 $\mathbf{R}_i^{r-1}(c)$ 的凸线性组合, 因而定理的几何意义也是递归割角. 同样, 我们也可证明有理 Bézier 曲线的离散割角多边形序列一致收敛到原曲

线. 但应该注意, 这里的割角系数不仅依赖于曲线分割点参数 λ , 而且依赖于多边形割角层数, 割角边序号 i 和权因子 ω_i . 为描述离散割角中间过程的顶点的几何意义, 我们有

定理 3.3.2 如 (3.3.1) 左端所示的 n 次 ($n \geq 2$) 有理 B ézier 曲线 $\mathbf{R}(t)$ 是由 (3.3.2), (3.3.3) 所决定的 $n-r$ 次 ($r=1, 2, \dots, n-1$) 有理 B ézier 曲线族的包络, 即

$$\mathbf{R}(t) = \text{env} \left\{ \mathbf{R}^{[n-r]}(t, c) = \frac{\sum_{i=0}^{n-r} B_i^{n-r} \left(\frac{t-a}{b-a} \right) \omega_{i+r}^r(c) \mathbf{R}_{i+r}^r(c)}{\sum_{i=0}^{n-r} B_i^{n-r} \left(\frac{t-a}{b-a} \right) \omega_{i+r}^r(c)}, \quad a \leq t \leq b \mid a \leq c \leq b \right\}, \quad (3.3.4)$$

且曲线 $\mathbf{R}(t)$ 与上述族曲线在接触点 $c=t$ 处有 $n-r$ 阶切触.

3.4 平面有理 B ézier 曲线的隐式化

3.4.1 隐式方程的导出

定理 3.4.1 (3.3.1) 左端所示的 n 次有理 B ézier 曲线 ($a \leq t \leq b$) 当 $\mathbf{R}_i = (x_i, y_i)$ ($i=0, 1, \dots, n$) 共面时可化为隐式方程

$$F(x, y) = \begin{vmatrix} a_0 & a_1 & \cdots & a_{n-1} & a_n \\ & a_0 & a_1 & \cdots & a_{n-1} & a_n \\ & & \cdots & \cdots & \cdots & \cdots \\ & & & a_0 & a_1 & \cdots & a_n \\ b_0 & b_1 & \cdots & b_{n-1} & b_n \\ & b_0 & b_1 & \cdots & b_{n-1} & b_n \\ & & \cdots & \cdots & \cdots & \cdots \\ & & & b_0 & b_1 & \cdots & b_n \end{vmatrix}_{(2n) \times (2n)} = 0. \quad (3.4.1)$$

$$a_i = \binom{n}{i} \omega_i (x_i - x), \quad b_i = \binom{n}{i} \omega_i (y_i - y), \quad i=0, 1, \dots, n. \quad (3.4.2)$$

证 引入参数变换

$$t = (au + b)/(u + 1), \quad 0 \leq u \leq +\infty; \quad u = (b - t)/(t - a), \quad a \leq t \leq b, \quad (3.4.3)$$

得到

$$\mathbf{R}(t) = (x, y) = \left(\frac{\sum_{i=0}^n \binom{n}{i} \omega_i x_i u^{n-i}}{\sum_{i=0}^n \binom{n}{i} \omega_i u^{n-i}}, \frac{\sum_{i=0}^n \binom{n}{i} \omega_i y_i u^{n-i}}{\sum_{i=0}^n \binom{n}{i} \omega_i u^{n-i}} \right), \quad 0 \leq u \leq +\infty. \quad (3.4.4)$$

即

$$\sum_{i=0}^n a_i u^{n-i} = 0, \quad \sum_{i=0}^n b_i u^{n-i} = 0. \quad (3.4.5)$$

因为 (x, y) 是曲线 (3.3.1) 上的点, 当且仅当 (3.4.5) 中两式有公根或 $a_0 = b_0 = 0$ ($x \equiv x_0, y \equiv y_0$), 所以由多项式的结式理论 (见引理 16.1.1) 知 (3.4.5) 的结式 $F(x, y)$ 必为 0, 证毕.

定理 3.4.2 (3.4.1) 中的 $F(x, y)$ 是次数不高于 n 的二元多项式.

证 用 f 来表示 (3.4.2) 中的 a 或 b ; 当 $r=1, 2, \dots, n$ 时记

$$f_i^{[0]} = \begin{cases} f_i, & i = 0, 1, \dots, n, \\ 0, & i \geq n+1, \end{cases} \quad (3.4.6)$$

$$f_i^{[r]} = \begin{cases} f_i^{[r-1]} - \Omega_i f_{r-1}^{[r-1]}, & \Omega_i = \binom{n}{i} \frac{\omega_i}{\omega_0}, \quad i = r, r+1, \dots, r+n-1, \\ f_i^{[r-1]}, & i \geq r+n. \end{cases} \quad (3.4.7)$$

对(3.4.1)中的行列式施行列初等变换. 从第 $i+1$ 列减去第1列的 Ω_i 倍, $i = 1, 2, \dots, n$; 再从第 $i+2$ 列减去第2列的 Ω_i 倍, $i = 1, 2, \dots, n$; 最后从第 $i+n$ 列减去第 n 列的 Ω_i 倍, $i = 1, 2, \dots, n$; 可得

$$\begin{aligned} F(x, y) &= \begin{vmatrix} a_0 & a_1^{[1]} & \cdots & a_{n-1}^{[1]} & a_n^{[1]} & & & \\ & a_0 & a_1 & \cdots & a_{n-1} & a_n & & \\ & & \cdots & \cdots & \cdots & \cdots & & \\ & & & a_0 & a_1 & \cdots & a_n & \\ b_0 & b_1^{[1]} & \cdots & b_{n-1}^{[1]} & b_n^{[1]} & & & \\ & b_0 & b_1 & \cdots & b_{n-1} & b_n & & \\ & & \cdots & \cdots & \cdots & \cdots & & \\ & & & b_0 & b_1 & \cdots & b_n & \end{vmatrix} \\ &= \begin{vmatrix} a_0 & a_1^{[1]} & a_2^{[2]} & \cdots & a_n^{[2]} & a_{n+1}^{[2]} & & \\ & a_0 & a_1^{[1]} & \cdots & \cdots & a_n^{[1]} & & \\ & & a_0 & a_1 & \cdots & \cdots & a_n & \\ & & & \cdots & \cdots & \cdots & \cdots & \cdots \\ & & & & a_0 & a_1 & \cdots & \cdots & a_n \\ b_0 & b_1^{[1]} & b_2^{[2]} & \cdots & b_n^{[2]} & b_{n+1}^{[2]} & & \\ & b_0 & b_1^{[1]} & \cdots & \cdots & b_n^{[1]} & & \\ & & b_0 & b_1 & \cdots & \cdots & b_n & \\ & & & \cdots & \cdots & \cdots & \cdots & \cdots \\ & & & & b_0 & b_1 & \cdots & \cdots & b_n \end{vmatrix} \\ &= \cdots = \begin{vmatrix} a_0 & a_1^{[1]} & a_2^{[2]} & \cdots & a_n^{[n]} & a_{n+1}^{[n]} & \cdots & a_{2n-1}^{[n]} \\ & a_0 & a_1^{[1]} & \cdots & a_{n-1}^{[n-1]} & a_n^{[n-1]} & \cdots & a_{2n-2}^{[n-1]} \\ & & \cdots & \cdots & \cdots & \cdots & \cdots & \cdots \\ & & & a_0 & a_1^{[1]} & a_2^{[1]} & \cdots & a_n^{[1]} \\ b_0 & b_1^{[1]} & b_2^{[2]} & \cdots & b_n^{[n]} & b_{n+1}^{[n]} & \cdots & b_{2n-1}^{[n]} \\ & b_0 & b_1^{[1]} & \cdots & b_{n-1}^{[n-1]} & b_n^{[n-1]} & \cdots & b_{2n-2}^{[n-1]} \\ & & \cdots & \cdots & \cdots & \cdots & \cdots & \cdots \\ & & & b_0 & b_1^{[1]} & b_2^{[1]} & \cdots & b_n^{[1]} \end{vmatrix}, \quad (3.4.8) \end{aligned}$$

由 (3.4.7) 知 $a_i^{[r]}, b_i^{[r]} (r = 1, 2, \dots, n; i \geq r)$ 均是常数, 因而行列式 (3.4.8) 中只有 a_0 含 x , b_0 含 y ; 又因 a_0, b_0 所在列相同, 所以定理结论成立, 证毕.

定义 3.4.1 设 α_{ij} 为常数, 点坐标 (x, y) 满足 n 次代数方程 $F(x, y) = \sum_{\substack{i,j=0 \\ i+j \leq n}}^n \alpha_{ij} x^i y^j = 0$ 的平面曲线称为平面 n 次代数曲线.

3.4.2 平面 n 次代数曲线有理参数化的条件

定理 3.4.2 表明, 平面 n 次有理 Bézier 曲线是平面 n 次代数曲线. 但反之未必成立. 那么何时定理 3.4.2 之逆成立呢? 依据代数几何理论, 有^[10]

定理 3.4.3 平面 n 次代数曲线能表为有理 Bézier 曲线的充要条件是此曲线的亏格(Genus) $g = (n-1)(n-2)/2 - d - s$ 为零, 这里 d , s 分别表示其包含虚点在内二重点和尖点个数.

3.5 有理二次 Bézier 曲线的分类

应用定理 3.4.1, 我们可把曲线 (3.1.5) 隐式化并确定其分类. 为简化行列式计算, 取特殊坐标系使得 $R_0 = (-l, 0)$, $R_1 = (x_1, y_1)$, $R_2 = (l, 0)$, 根据几何不变性, 只要在这一坐标系下确定分类即可. 为进一步简化计算, 再引入参数变换

$$t = \sqrt{\omega_0} u / [\sqrt{\omega_0} u + \sqrt{\omega_2} (1-u)], \quad 0 \leq u \leq 1, \quad (3.5.1)$$

则曲线化作控制顶点相同而权因子为

$$(\omega_0^*, \omega_1^*, \omega_2^*) = (1, \omega = \omega_1 / \sqrt{\omega_0 \omega_2}, 1) \quad (3.5.2)$$

的有理 Bézier 曲线 $R^*(u)$. 按定理 3.2.1, 此曲线形状与 (3.1.5) 相同. 这时 (3.4.1) 化为

$$\begin{vmatrix} -l-x & 2\omega(x_1-x) & l-x \\ & -l-x & 2\omega(x_1-x) & l-x \\ -y & 2\omega(y_1-y) & -y \\ & -y & 2\omega(y_1-y) & -y \end{vmatrix} = Ax^2 + 2Bxy + Cy^2 + 2Dx + 2Ey + F = 0, \quad (3.5.3)$$

$$(A, B, C, D, E, F) = (\omega^2 y_1^2, -\omega^2 x_1 y_1, \omega^2 (x_1^2 - l^2) + l^2, 0, \omega^2 l^2 y_1, -\omega^2 l^2 y_1^2). \quad (3.5.4)$$

$$\text{因为 } \Delta = \begin{vmatrix} A & B & D \\ B & C & E \\ D & E & F \end{vmatrix} = -\omega^4 l^4 y_1^4 < 0, \quad \text{又因为 } \omega < 1 \text{ 时 } (A+C)\Delta < 0, \quad \text{同时}$$

$AC - B^2 = \omega^2 l^2 y_1^2 (1 - \omega^2)$, 由解析几何知识可知, 当 $\omega < 1, \omega = 1, \omega > 1$ 时曲线 (3.1.5) 分别为椭圆, 抛物线, 双曲线. 这样我们就得到

定理 3.5.1 有理二次 Bézier 曲线 (3.1.5) 的分类取决于定义 3.2.2 中的不变量 I_1 , 即 $I_1 = \omega_1^2 / (\omega_0 \omega_2) < 1, = 1, > 1$ 时分别为椭圆, 抛物线, 双曲线.

由定理 3.5.1 的证明可知, $R_s = R^*(u) \Big|_{u=1/2} = (1/(1+\omega))(R_0/2 + R_2/2) + (\omega/(1+\omega))R_1$.

这表明点 R_s 恰在 $\Delta R_1 R_0 R_2$ 底边的中线上, 且此中线被曲线分割成 $1:\omega$ 的两部分. 于是我们得到对外形设计特别有用的

推论 3.5.1 设有理二次 Bézier 曲线 (3.1.5) 与 $\Delta R_1 R_0 R_2$ 底边 $R_0 R_2$ 上的中线 $R_1 M$ 交于被称为肩点(Shoulder point)的点 R_s , 若 $\|R_s M\|/\|R_1 R_s\| = \omega$, 则当 $\omega < 1, \omega = 1, \omega > 1$ 时, 曲线 (3.1.5) 分别为椭圆, 抛物线, 双曲线.

应用定理 3.5.1, 当 $I_1 < 1$ 时, 易见曲线 (3.1.5) 为圆心角是 2θ 的圆弧, 当且仅当 $B = 0, A = C$, 这等价于 $x_1 = 0$, $\omega^2 = l^2 / (l^2 + y_1^2) = \cos^2 \theta$, 于是有

定理 3.5.2 有理二次 Bézier 曲线 (3.1.5) 构成圆心角为 2θ ($0 < \theta < \pi/2$), 半径为 $l \csc \theta$ 之圆弧的充要条件是下列三式同时成立:

$$\|R_0 R_1\| = \|R_2 R_1\|, \quad \|R_0 R_2\| = 2l, \quad (3.5.5)$$

$$\omega_1^2 / (\omega_0 \omega_2) = \cos^2 \theta. \quad (3.5.6)$$

主要文献

- [WGJ, WGZ, 99] 王国瑾, 汪国昭, 计算几何, 浙江大学数学系研究生学位课程讲义, 1999
- [WGZ, 85] 汪国昭, 沈金福, 有理 B ézier 曲线的离散和几何性质, 浙江大学学报, 1985, 19(3): 123-130
- [XW, 92] 许伟, 有理 B ézier 曲线面中权因子的性质研究, 计算数学, 1992, 14(1): 79-88

参考文献

- 1 Rowin, M.S., Conic, cubic and T-conic segments, D2-23252, The Boeing Company, Seattle, WA98124, 1964
- 2 Coons, S.A., Surfaces for computer-aided design of space figures, AD663504, 1967
- 3 Ball, A.A., CONSURF Part1: Introduction to the conic lofting title, Computer Aided Design, 1974, 6(4): 243-249
- 4 Forrest, A.R., The twisted cubic curve: A computer aided geometric design approach, Computer Aided Design, 1980, 12(2): 165-172
- 5 Farin, G., Algorithms for rational B ézier curves, Computer Aided Design, 1983, 15(2): 73-77
- 6 Pigel, L., Representation of quadric primitives by rational polynomials, Computer Aided Geometric Design, 1985, 2(1-3): 151-155
- 7 刘鼎元, 有理 B ézier 曲线, 应用数学学报, 1985, 8(1): 70 -82
- 8 Faux, I.D., Pratt, M.J., *Computational Geometry for Design and Manufacture*, Ellis Horwood Limited, Chichester, UK, 1979
- 9 库洛什, 高等代数教程, 柯召译, 高等教育出版社, 第二版, 1956 年 10 月, 北京
- 10 苏步青, 刘鼎元, 计算几何, 上海科学技术出版社, 上海, 1981